

# Зондовые измерения параметров плазмы замагнченного плазменного эмиттера ионов

О. Г. МАТВЕЕНКО, Н. В. ПЛЕШИВЦЕВ

Положение и геометрия границы плазменного эмиттера в ионном источнике сильно изменяются при изменениях параметров самого источника и системы отбора ионов [1]. Относительно стабильную границу плазмы позволяет создавать замагнченный (квазижесткий) плазменный эмиттер, отбор ионов из которого производится перпендикулярно магнитному полю 2. При этом облегчается нахождение граничных условий задачи о формировании пучков ионов с большим объемным зарядом.

При использовании замагнченного плазменного эмиттера для формирования интенсивных пучков ионов можно знать распределение концентрации плазмы и температуры электронов вдоль струи плазмы, помещенной в вакуум. Эти данные необходимы, как для расчета траекторий ионов непосредственно от границы замагнченной плазмы до токоприемника, так и для исследования структуры струи плазмы.

В настоящей работе плазма создавалась в магнитном поле стационарным дуговым разрядом с накаленным катодом. Она вытекала через цилиндрические отверстия в аноде вдоль магнитного поля в вакуум. Параметры замагнченной плазменной струи измерялись при помощи четырех зондов Ленгмиора (рис. 1), расположенных на расстоянии 30–80 мм от отверстий ионного источника. Каждый из зондов мог перемещаться по радиусу иммерсионной линзы. Зонды из вольфрамовой проволоки диаметром 0,5 мм в стеклянной изоляции ориентировались так, чтобы их торцы были перпендикулярны направлению магнитного поля. Эффективная собирающая поверхность вольфрамового зонда  $S_{\text{эфф}}$  составляла около  $3 \cdot 10^{-3} \text{ см}^2$ . Для уменьшения нагрева зонда применялся импульсный режим работы с длительностью пилообразного импульса  $t_0 = 1 \div 5 \text{ мсек}$  и амплитудой напряжения  $U = 0 \div -500 \text{ в}$ . Длительность импульса начального отри-

УДК 533.9:621.384.6:621.039

цательного смещения  $\tau_{\text{см}} = 20 \text{ мсек}$ , а его амплитуда изменялась в пределах  $U_{\text{см}} = 0 \div 360 \text{ в}$ . Электронная температура и потенциал плазмы определялись обычным способом, а концентрация заряженных частиц подсчитывалась по ионному току  $i_+^0$ , экстраполированному до потенциала плазмы, по формуле Бома [3]

$$n_+ = \frac{i_+^0}{0,4 \sqrt{2kT_e/m_+eS_{\text{эфф}}} \cdot \text{см}^{-3}},$$

где  $T_e$  — электронная температура  $^{\circ}\text{К}$ ;  $m_+$  — масса иона,  $e$  — заряд электрона,  $k$ ;  $i_+^0$  выражено в  $a$ ;  $k$  — в  $\text{эрг}/\text{град}$ ;  $S_{\text{эфф}}$  — в  $\text{см}^2$ .

Измерения проводились при следующих параметрах дугового разряда: ток дуги с накаленным катодом 30 а; дуговое напряжение 65–55 в; давление водорода в источнике  $10^{-2} \text{ мм рт. ст.}$ ; число ампер-витков соленоида источника 100 000 (3400  $\text{ав}/\text{см}$ ); напряженность магнитного поля в средней части замагнченного плазменного эмиттера 700 в; давление в области зондовых измерений  $(2 \div 3) \cdot 10^{-5} \text{ мм рт. ст.}$ .

При постороннем передвижении четырех зондов по радиусу  $r$  иммерсионной линзы снималась зависимость плотности электронного  $j^- (r)$  и ионного  $j^+ (r)$  токов. По положению максимумов  $j_{\text{макс}}^-$  и  $j_{\text{макс}}^+$  была прослежена траектория движения плазменной струи в иммерсионном электроде. Она хорошо совпадала с траекторией, построенной по следам от проектирования медных фольг, которые устанавливались на различных расстояниях от отверстий эмиссии [2].

На рис. 2 показано изменение концентрации плазмы вдоль оси плазменной струи. Спад концентрации плазмы относительно небольшой. Он обусловлен расширением магнитной силовой трубы и бомбовской диффузией плазмы. Концентрация плазмы падает на порядок на длине 6 см. (В работе [4], где исследовался неза-

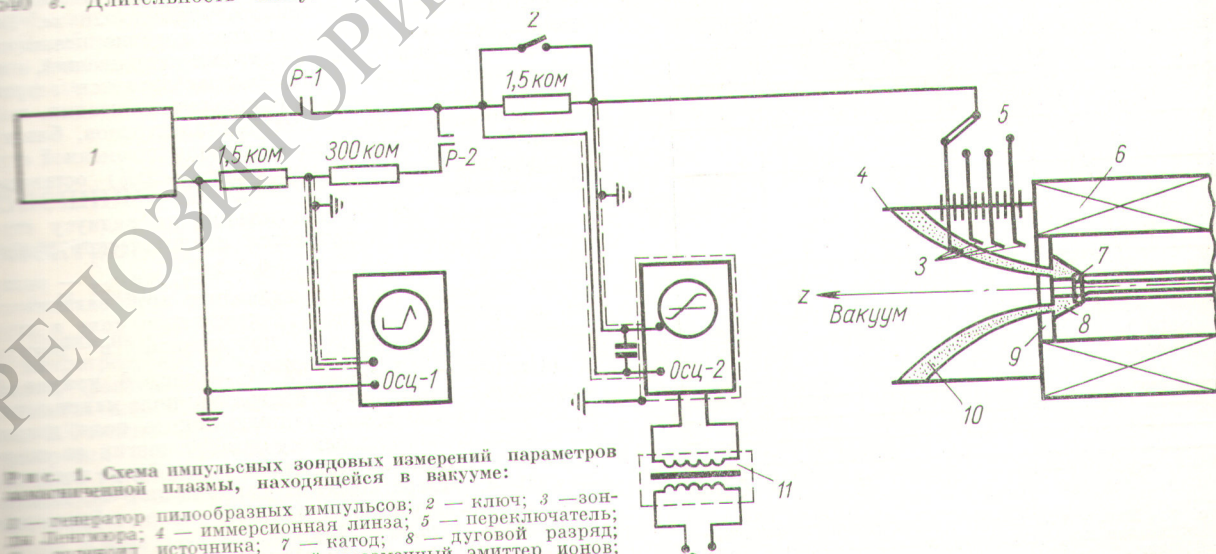


Рис. 1. Схема импульсных зондовых измерений параметров замагнченной плазмы, находящейся в вакууме:  
1 — генератор пилообразных импульсов; 2 — ключ; 3 — зонд; 4 — иммерсионная линза; 5 — переключатель; 6 — катод; 7 — анод; 8 — дуговой разряд; 9 — зонд; 10 — замагнченный плазменный эмиттер ионов;  
11 — разделительный трансформатор

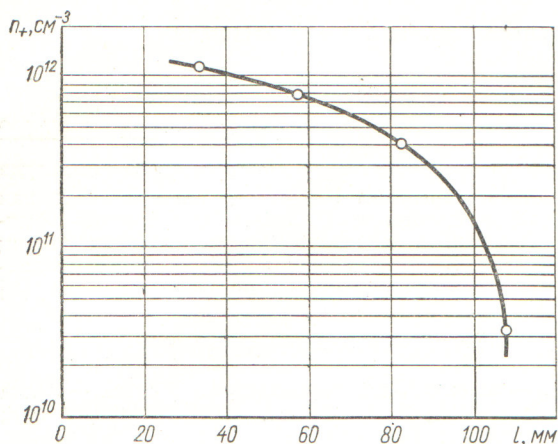


Рис. 2. Изменение концентрации ионов в замагниченной плазме вдоль струи плазмы, в максимуме  $n_+ (r_{\text{ст}})$  (см. рис. 3).

магнитный плазменный эмиттер, подобное уменьшение происходило на длине 2–3 см. На расстоянии 40 мм от отверстия эмиссии концентрация проникающей плазмы падала до  $7 \cdot 10^{12} \text{ см}^{-3}$ . Поэтому для создания плазмы понадобился импульс дугового тока, равный 50 000 а.) Хотя в нашем случае спад незначителен, тем не менее уменьшение концентрации по длине струи плазмы объясняет эффект укорачивания плаз-

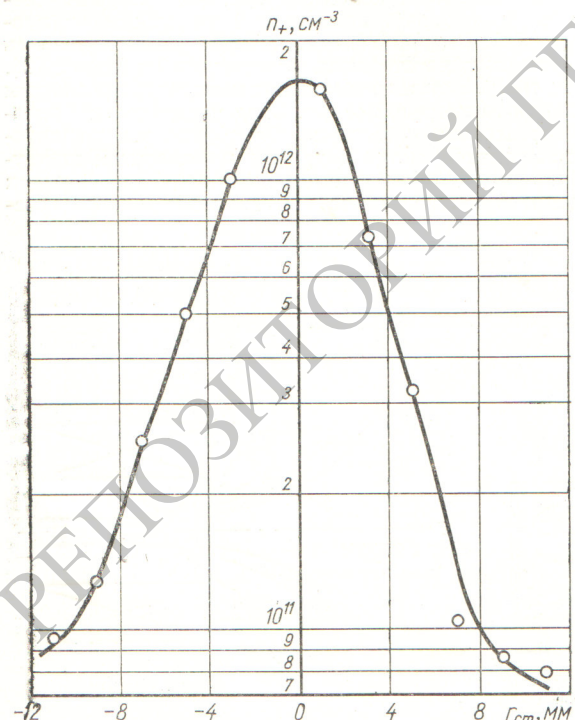


Рис. 3. Изменение концентрации ионов в замагниченной плазме по радиусу струи плазмы (здесь и далее  $z = 25 \text{ мм}$ ).

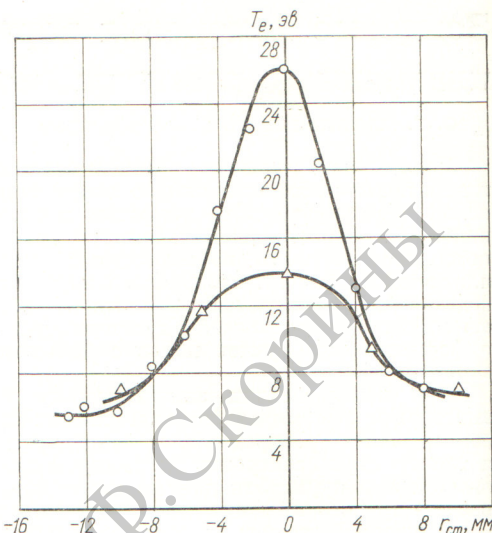


Рис. 4. Изменение электронной температуры  $T_e$  поперек струи плазмы при прямой ( $\circ$ ) и обратной ( $\Delta$ ) ориентации зонда относительно отверстий эмиссии.

менной струи при отборе больших ионных токов [2], так как при этом эмиттер обедняется плазмой.

Распределение концентрации плазмы поперек струи на расстоянии  $z = 25 \text{ мм}$  от отверстия эмиссии показано на рис. 3. Плазма сильно замагничена. Показатель экспоненциального спада концентрации составляет  $\sim 2 \text{ мм}$ .

На рис. 4 приведено изменение температуры электронов поперек струи плазмы при прямой и обратной ориентации зонда относительно отверстия эмиссии. Наряду с плазменными электронами с температурой примерно 7 эв в струе замагниченной плазмы имелись быстрые электроны с температурой до 26 эв. Если учесть, что в прикатодном слое падение потенциала составляет  $\sim 0,8 U_d$  ( $U_d$  — дуговое напряжение), а при ионизации быстрыми электронами теряется энергия, равная примерно двум потенциалам ионизации, получим величину энергии быстрых электронов, близкую 26 эв. Температура электронов вдоль плазменной струи в пределах точности измерений ( $\sim 20\%$ ) оставалась постоянной.

Изменение потенциала плазмы по радиусу струи (рис. 5) хорошо описывается аналитической зависимостью  $U_{\text{пл}}(r) = 10 - 90e^{-0,036 r_{\text{ст}}^2}$ , где  $r_{\text{ст}}$  — радиус струи плазмы, мм. На основании этой зависимости легко найти радиальное электрическое поле в струе замагниченной плазмы, помещенной в вакууме  $E_r (в/см) = -6,5 r_{\text{ст}} e^{-0,036 r_{\text{ст}}^2}$  (рис. 6, кривая 1). На расстоянии 3,7 мм от центра оси поле максимально и достигало 150 в/см. Наличие такого поля должно приводить к азимутальному дрейфу частиц со скоростью порядка  $10^7 \text{ см/сек}$ . Эти частицы будут поступать на границу отбора ионов из участков плазмы, на которые не действует электрическое поле отбирающего иона электрода.

Изменение плотности объемного заряда по радиусу струи плазмы находилось по уравнению Пуассона.

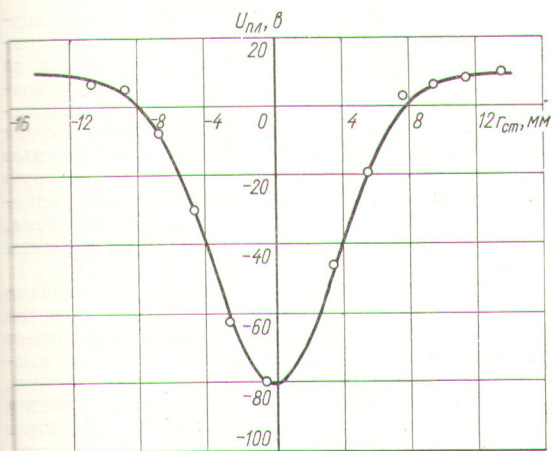


Рис. 5. Зависимость потенциала плазмы  $U_{\text{пл}}$  от радиуса замагниченной плазменной струи.

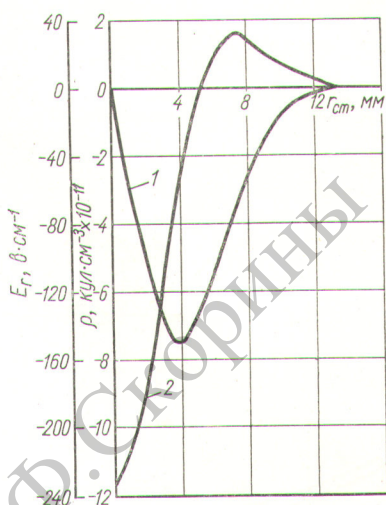
Изменением потенциала по азимуту и вдоль струи пренебрегали. Получено соотношение  $\rho (\text{n/cm}^3) = -1,15 \cdot 10^{-10} (1 - 0,036 r_{\text{ст}}^2) e^{-0,036 r_{\text{ст}}^2}$  (см. рис. 6, кривая 2). Объемный заряд в центральной части струи отрицательный, а в периферийной части — положительный.

При анализе зависимости параметров замагнченной плазмы, находящейся в вакууме, от параметров дугового разряда была обнаружена примерная пропорциональность плотности заряженных частиц разрядному току, а электронной температуры — напряжению на разряде.

В процессе зондовых измерений наблюдалась флюктуации зондового тока с частотой от сотен килогерц до десятков мегагерц, которые возрастили с удалением от центра плазменной струи. При определенных соотношениях тока дуги, магнитного поля и давления в дуговой камере возникали резонансные звуковые колебания с частотой порядка 2 кгц.

Подобные струи замагнченной плазмы использовались для первоначального формирования пучков ионов водорода с током 600—800 мА, энергией 30—40 кэВ

Рис. 6. Зависимость электрического поля (1) и плотности объемного заряда (2) от радиуса замагнченной плазменной струи, находящейся в вакууме.



и эквивалентным электронным первенцом до  $5 \times 10^{-6} a/e^{-3/2}$  [2].

Авторы приносят благодарность Г. Ф. Лощенову, Б. М. Безверхову и А. С. Власову за помощь в подготовке и проведении измерений; Д. В. Каретникову и Б. К. Шембелю за полезные дискуссии; Л. К. Пятикову, А. С. Алимову и Е. М. Морозову за разработку и изготовление генератора пилообразных импульсов.

Поступило в Редакцию 12/I 1967 г.

#### ЛИТЕРАТУРА

- М. Д. Габович. Плазменные источники ионов. Киев, «Наукова думка», 1964.
- Н. В. Плешивцев и др. Применение замагнченной плазмы для формирования интенсивных пучков ионов. Plasma Physics, 1967 (в печати).
- D. Bohm et al. The characteristics of Electrical Discharges in Magnetic Fields, Ch. III, IX, N. Y., 1949.
- М. Д. Габович, Л. Л. Пасечник, Е. А. Лозовая. ЖТФ, 31, 1049 (1961).

## Внешняя инъекция в микротрон сгруппированного электронного сгустка

А. М. ГРОМОВ

Одним из недостатков метода инъекции электронов в микротрон, при котором используется подогревный катод, расположенный в ускоряющем резонаторе, является низкий коэффициент полезного использования ВЧ-мощности [1, 2]. Это связано с тем, что в режим ускорения захватывается небольшая доля ( $\sim 1/30$ ) полного тока катода. Остальные электроны нагружают резонатор и бесполезно уносят значительную долю ВЧ-мощности, что ограничивает интенсивность микротрона. Кроме того, наличие катода отрицательно влияет на электрическую прочность резонатора. Эффективность микротрона (доля захваченных электронов) может

быть увеличена, если в ускоряющий резонатор инжектировать сгусток электронов, который предварительно сгруппирован по фазе и энергии. Однако расположить группирователь в области, где находится катод, очень сложно, так как эта область мала и ограничена резонатором и первой орбитой электронов. Для вынесения группирователя за пределы области, охваченной орбитами электронов, предлагалось использовать электростатический инфлекtor [3]. Однако для осуществления этого метода требуется высокая напряженность электрического поля на инфлекторе. Это ограничивает диапазон плавной регулировки выходной энергии электронов.

УДК 621.384.611.3